

文章编号: 1671-8585(2007)04-0252-05

# 用优化通量校正传输技术压制数值模拟的频散

王 珺<sup>1</sup>, 杨长春<sup>2</sup>, 冯英杰<sup>2</sup>

(1. 中国石油大学信息与控制工程学院, 山东东营 257061; 2. 中国科学院地质与地球物理研究所, 北京 100029)

**摘要:** 用常规有限差分法求解波动方程, 进行弹性波正演模拟, 当单位波长内采样点数较少(粗网格)时会遇到严重的频散现象。通量校正传输(FCT)算法可有效地压制在粗网格情况下产生的数值频散。FCT 校正假设所有的极值点都是由数值频散引起的, 然后对所有网格点进行扩散通量校正处理, 再对非局部极值点进行补偿的逆扩散通量校正。FCT 方法用于高阶差分既具有较高的计算精度, 又因适应采样间隔较大的情况而节省了计算量, 从而具有较高的计算速度。在传统的 FCT 技术基础上提出的优化 FCT 技术只在需要压制数值频散处对波场进行平滑处理, 可节省约 40% 的计算量。给出了应用优化 FCT 技术进行波动方程正演模拟的数值算例, 当参数选取合适时不仅有效地压制了数值频散, 完好地保存了真实波场, 又因节省了计算量而提高了计算效率。

**关键词:** 通量校正传输(FCT); 数值频散; 计算精度; 计算效率

**中图分类号:** P631.443

**文献标识码:** A

有限差分法是进行波动方程数值模拟的一种有效方法, 它具有计算速度快, 占用内存小等优点, 已在波动方程数值模拟领域得到广泛的应用<sup>[1~6]</sup>。但用有限差分法求波动方程数值解时, 会遇到不期望的波动现象, 这种现象称为网格频散或数值频散<sup>[7,8]</sup>, 尤其是在有较大梯度的波场附近, 或用于计算的网格太粗时, 频散现象更加严重<sup>[9]</sup>。压制频散最简单的方法就是减小网格步长, 但会导致计算量骤增。蔡其新等曾经研究了优化差分参数的一种公式, 用来确定空间步长<sup>[7]</sup>。其他的还有高阶差分格式<sup>[8~10]</sup>, 通量校正传输(FCT)法等。Fornberg 对比高阶有限差分法和伪谱法后指出, 当有限差分算子的阶数逼近无穷时, 高阶有限差分法等价于伪谱法, 逼近阶数越高, 模拟的数值频散越小<sup>[11]</sup>。FCT 算法是 Boris 在研究流体运移问题时提出的<sup>[12]</sup>, Fei Tong 等将其引入到弹性波正演模拟中用于消除数值频散<sup>[13]</sup>, 其基本原理是, 假设所有的极值点都是由数值频散引起的, 然后对所有网格点进行扩散校正处理, 再对非局部极值点进行补偿的逆扩散校正。本文在传统的 FCT 方法基础上提出了优化的 FCT 法, 通量校正只用在局部极值点上, 节省了大约 40% 的计算量。同时, FCT 方法可以适应大的时间和空间步长, 从而抵消了 FCT 校正带来的计算量的增加。

## 1 通量校正传输理论

FCT 技术的应用包括有限差分校正 2 个主

要阶段。其中校正阶段用于消除波场传播中的数值频散, 包含扩散和逆扩散 2 个步骤。实际上, 扩散校正是一个线性的平滑过程。用扩散校正方法来提高数值解精度的方法出现得很早, 早在 1960 年, Lax 和 Wendroff 就应用扩散校正方法来解决 Lax-Wendroff 有限差分数值解的网格频散。但是这种方法由于对波场平滑得过于严重而导致计算精度严重降低, 而且因为数值频散并不是发生在所有的计算网格上, 所以还有部分频散没有完全消除。为了克服这种校正方法的缺点, FCT 技术的指导思想是只在发生频散的位置运用校正技术。但是在实际应用中, 并没有先验信息来指示频散出现的位置, 所以 FCT 方法首先是对所有的位置进行扩散校正, 然后对经扩散校正平滑过的波场中, 那些被认为没必要平滑的部分进行逆扩散校正。由于进行逆扩散是有选择的, 因此是一个非线性的过程。

### 1.1 FCT 技术在一维问题中的应用

一维波动方程定义为

$$\begin{cases} q = \frac{1}{\rho c^2} \frac{\partial P}{\partial t} \\ u = \frac{\partial P}{\partial x} \end{cases} \quad (1)$$

收稿日期: 2007-02-25; 改回日期: 2007-05-22。

第一作者简介: 王珺(1973—), 女, 博士, 2005 年毕业于中国科学院地质与地球物理研究所, 现在中国石油大学信息与控制工程学院任教, 主要从事地震信号处理、成像以及测井解释方法研究工作。

基金项目: 中国石油天然气集团公司创新基金资助(07E1019); 中国科学院知识创新工程重大项目资助(KZCX1-SW-18-04)。

FCT 技术在一维的一阶波动方程传播中的应用分 3 个主要步骤:①波传播,用有限差分方法解波动方程;②扩散校正,即计算第  $n$  步的扩散通量  $f$ ,然后利用该通量来平滑数值解;③逆扩散校正,即计算第  $n+1$  步的逆扩散通量  $\tilde{f}$ ,用于补偿不需要平滑的部分。上述 3 个步骤可以简单地表示为包含算子  $T, D$  和  $A$  的式(2),其中  $T$  和  $D$  是线性算子,逆扩散校正算子  $A$  是非线性算子。

$$\begin{cases} q^T = q^n + Tu^{n+1/2} \\ q^{TD} = q^T + Dq^n \\ q^{n+1} = q^{TD} + A\{q^T, q^{TD}\} \end{cases} \quad (2)$$

因为扩散作用不仅平滑掉了高频的数值频散,同时也将一部分波场平滑掉了,因此需要进行逆扩散处理,以恢复正确的波场值。如果逆扩散过程是线性的,那么它不仅恢复了真正的波场值,而且恢复了被压制掉的数值频散。因此,需要对逆平滑过程进行修正,使其只恢复真实的振幅,而不恢复频散。所以要在频散拖尾处,置逆平滑算子为 0,在真正的波场处,逆平滑算子非零,这就是进行有选择的逆扩散处理。

图 1 是一维波场传播的波场快照,波向右以速度  $c$  传播,假设波场中低频成分对应着真正的波场值,只有那些接近 Nyquist 频率的高频成分是由数值频散引起的。FCT 逆平滑校正的目的是恢复真正的振幅,而不是恢复被压制的频散。

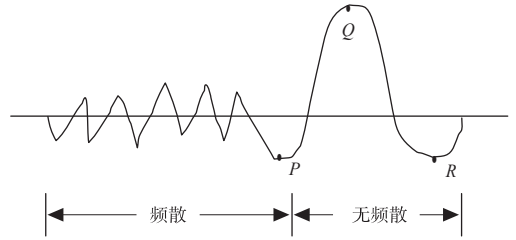


图 1 一维波场快照

在 FCT 方法中,假设局部极值是由数值频散引起的,那么逆平滑处理只运用于那些不存在局部极值的位置,也就是说,如果整网格点  $j$  和  $j+1$  处都没有局部极值,那么在半网格点  $j+1/2$  处计算得到的逆扩散通量就应该对  $j$  和  $j+1$  这 2 个点进行逆扩散校正。图 2 给出了 4 种波场振幅变化趋势,只有图 2a 应在  $j+1/2$  处运用逆扩散校正。

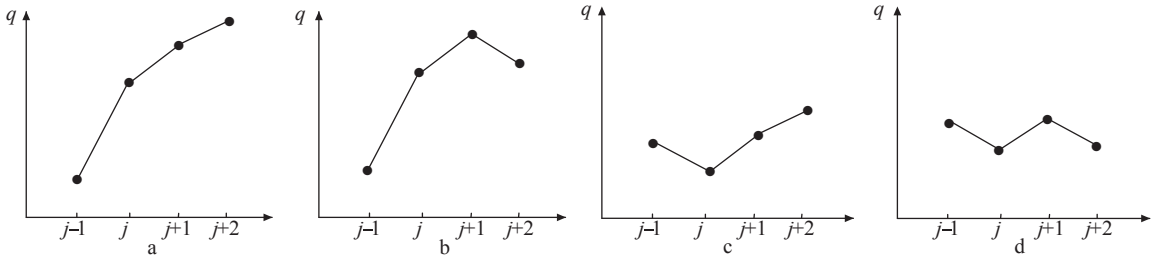


图 2 逆平滑校正是否应用于半网格点处的 4 种情形分析

注:只有图 2a 在  $j+1/2$  处不受数值频散的影响,因此可以运用逆平滑校正

逆扩散校正的非线性步骤的本质是,寻找局部极值点,在这些地方置算子  $A$  为零。特别地,逆扩散运算定义为

$$q_j^{n+1} = q_j^{TD} (f_{j+1/2}^c - f_{j-1/2}^c) \quad (3)$$

其中

$$f_{j+1/2}^c = S \max\{0, [SX_{j-1/2}, \text{abs}(\tilde{f}_{j+1/2}), SX_{j+3/2}]\}$$

$$S = \text{sign}\{\tilde{f}_{j+1/2}\}$$

$$X_{j+1/2} = q_{j+1}^{TD} - q_j^{TD}$$

将所有的局部极值点都看作是由网格频散引起的,虽然很简单,但显然是不正确的。例如图 1 中的  $P, Q$  和  $R$  点均为真实波场的极值点,根据该算法的假设,在这 3 处没有进行逆扩散校正,因此,虽然在这些点上有扩散校正引起的振幅损失,却没有得到补偿。但是随着时间的推移,这些点处将会变为非极值点,因此它们的振幅损失将在以后的时

间步长中得到补偿。经过一系列的递推过程,真正的波场振幅远远不如频散部分降低的多,因此 FCT 处理的结果还是正确的。

在 FCT 方法的第一步中,可能使用的是具有强平滑效果的差分格式(如伪 Lax-Wendroff 格式),因为该差分格式本身具有平滑作用,会导致振幅损失和分辨率的降低,所以在这种情况下,FCT 就不再需要进行扩散校正,只需要用逆扩散校正来补偿振幅和分辨率的损失即可。

下面对 FCT 中的扩散公式和伪 Lax-Wendroff 格式进行比较。假设 FCT 中使用的是 leap-frog 格式,则

FCT 中的平滑公式

$$q_j^{n+1} = q_j^n + \frac{\Delta t}{\rho \Delta x} (u_{j+1/2}^n - u_{j-1/2}^n) + \eta_1 (q_{j+1}^n - 2q_j^n + q_{j-1}^n) \quad (4)$$

伪 Lax-Wendroff 传播公式

$$q_j^{n+1} = q_j^n + \frac{\Delta t}{\rho \Delta x} (u_{j+1/2}^n - u_{j-1/2}^n) + \frac{1}{2} \left( \frac{c \Delta t}{\Delta x} \right)^2 (q_{j+1}^n - 2q_j^n + q_{j-1}^n) \quad (5)$$

可以看出, 扩散系数在伪 Lax-Wendroff 格式中为  $\frac{1}{2} \left( \frac{c \Delta t}{\Delta x} \right)^2$ , 在 FCT 中为  $\eta_1$ , 是一个可供选择的变量, 它们之间非常相似。通过比较可以看出, 如果使用伪 Lax-Wendroff 格式, 则无需扩散校正, 只需做逆扩散校正即可, 也就是将式(4)中的  $\eta_1$  置为 0。

## 1.2 优化的 FCT 方法

上述内容来自 Boris 和 Book 的 FCT 技术思想: 首先进行标准的有限差分, 然后再进行扩散校正, 最后查找非局部极值点进行逆扩散校正。

如前所述, FCT 方法可以选择性地进行逆扩散校正, 即在平滑之前就寻找局部极值点, 如果选择性地进行扩散校正, 就可以省去逆扩散校正步

骤, 这就是优化的 FCT 的思路。

优化的 FCT 过程可以表示如下

$$q^T = q^n + Tu^{n+1/2} \quad (6)$$

$$q^{n+1} = q^T + Dq^n \quad (7)$$

式中:  $T$  是有限差分的线性算子;  $D$  是运用于局部极值处的非线性扩散算子。

优化的 FCT 方法的流程如下:

- 1) 用标准有限差分法解波动方程
- 2) 计算第  $n$  步的平滑通量

$$f_{j+1/2} = \eta(q_{j+1}^n - q_j^n) \quad (8)$$

式中:  $\eta$  是平滑系数, 类似于前面的  $\eta_1$ , 但是比  $\eta_1$  要略大一些, 一般根据经验设定。

为了测试当其他参数相同时,  $\eta$  的取值对结果的影响, 给出一个密度为常数, 速度为 2 km/s 的常速介质模型, 震源采用点爆炸震源, 子波为 30 Hz 的 Ricker 子波。图 3 是其他参数相同, 分别采用不同的  $\eta$  值时的波场快照。可以看出, 随着  $\eta$  值的增大,

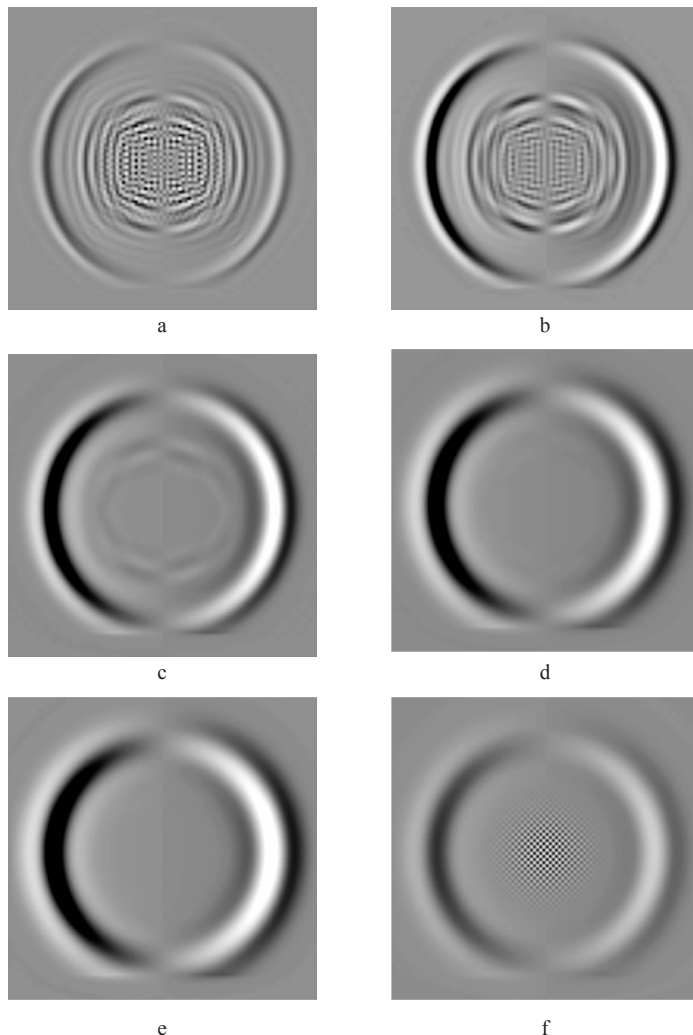


图 3 同一时刻不同  $\eta$  值时的波场快照对比

a  $\eta=0$ ; b  $\eta=0.01$ ; c  $\eta=0.05$ ; d  $\eta=0.1$ ; e  $\eta=0.12$ ; f  $\eta=0.13$

数值频散现象逐渐减轻,对波场的平滑程度也越严重,当  $\eta > 0.12$  时,真实波场已被平滑得模糊不清,分辨率明显下降。图 4 是分别采用不同  $\eta$  值时同一时刻的振幅值大小对比。随着  $\eta$  值的增大,得到的数值解越接近输入的 Ricker 子波,也就是说,用优化的 FCT 方法能更好地校正数值频散和相位畸变问题。但当  $\eta > 0.12$  时,由于平滑过度,得到的解又与原始输入的 Ricker 子波存在着很大的失真。因此,  $\eta$  的取值过大或过小,都会造成不良后果。  $\eta$  越大,平滑越强烈;只有当  $\eta$  取值合适时,用优化的 FCT 方法才能既有效地压制数值频散,修正相位畸变,又可较好地保持真实的波场。

### 3) 计算校正的扩散通量

$$f_{j+1/2}^c = f_{j+1/2} \left\{ 1 - \frac{1}{2} [\text{sign}(f_{j+1/2}, f_{j+1/2}) + \text{sign}(f_{j+1/2}, f_{j+3/2})] \right\} \quad (9)$$

4) 利用局部的扩散通量  $f^c$  修正波场  $q$ ,以得到正确的解,这一过程实际上就是在只存在频散的地方进行平滑。

$$q_j^{n+1} = q_j^{n+1} + (f_{j+1/2}^c - f_{j-1/2}^c) \quad (10)$$

由于优化的 FCT 方法仅在局部极值点做扩散运算,因此与原来的 FCT 方法相比,它节省了约 40% 的计算量。

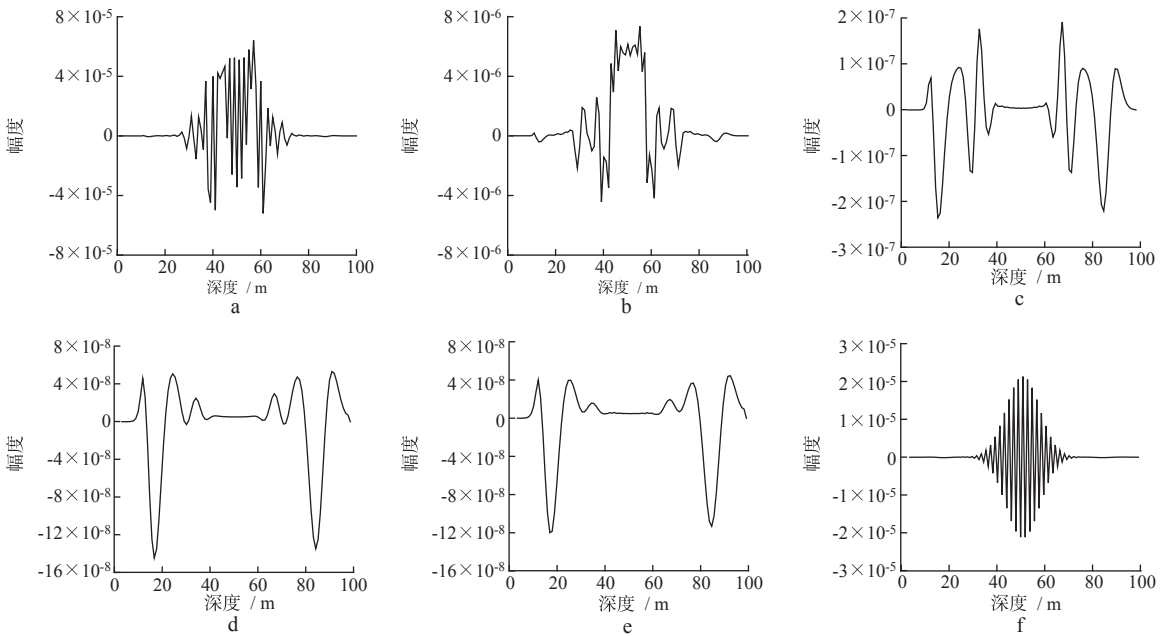


图 4 同一时刻不同  $\eta$  值时的振幅值大小对比  
a  $\eta=0$ ; b  $\eta=0.01$ ; c  $\eta=0.05$ ; d  $\eta=0.1$ ; e  $\eta=0.12$ ; f  $\eta=0.13$

## 2 优化的 FCT 技术在消除频散问题中的应用

图 5 为应用优化 FCT 技术的数值模拟效果对比图。均匀各向同性模型,取  $v_p = 2000$  m/s,  $v_s = v_p/\sqrt{3}$ ,  $\rho = 2.5$ , 空间网格间距为  $\Delta x = \Delta z = 15$  m, 时间步长  $\Delta t = 2$  ms, 震源采用点爆炸震源,位于均匀各向同性介质模型的中心,子波为主频 30 Hz 的对称 Ricker 子波。时域二阶和空间域四阶有限差分  $O(\Delta t^2 + h^4)$  的参数  $\eta$  为 0.065, 时域二阶和空间域二阶有限差分  $O(\Delta t^2 + h^2)$  的参数  $\eta$  为 0.08。

分别模拟  $O(\Delta t^2 + h^2)$  和  $O(\Delta t^2 + h^4)$  的有限差分分解的弹性波场  $x$  分量及经过优化的 FCT 校正后

的波场  $x$  分量。同一时刻波场快照如图 5 所示。图 5a 是用常规有限差分法进行时间域二阶差分 and 空间域二阶差分得到的波场。图 5c 是用常规有限差分法进行时间域二阶差分 and 空间域四阶差分得到的波场。对比图 5a 和图 5c 可以看出,随着差分阶数的增大,频散程度变轻。图 5b 和图 5d 分别对应着图 5a 和图 5c 同一时刻经过 FCT 校正后的波场,显然优化的 FCT 方法有效地压制了数值频散。虽然在模型剖分网格数相同的情况下,差分的阶数越高,计算量越大,计算速度越慢<sup>[14]</sup>,而且 FCT 校正步骤的增加也会导致计算量增大约 1.8 倍,但是因为 FCT 校正网格较粗(单位波长采样点较少)时,仍可得到与常规有限差分方法在细网格情况下相当的计算精度,并且优化的 FCT 技术,扩散校正只用在局部极值点上,从而节省了约 40% 的计算

量,所以优化的 FCT 技术提高了有限差分正演模拟的计算效率。

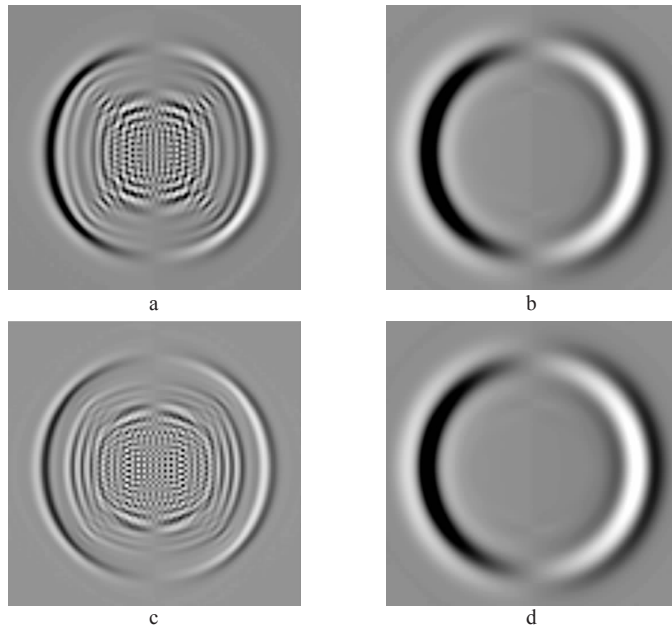


图5 不同空间域差分精度弹性波场快照

a 用常规有限差分法进行时间域二阶差分 and 空间域二阶差分得到的波场; b 对应着图 5a 同一时刻经过 FCT 校正后的波场;  
c 用常规有限差分法进行时间域二阶差分 and 空间域四阶差分得到的波场; d 对应着图 5c 同一时刻经过 FCT 校正后的波场

### 3 结束语

在总结分析前人工作的基础上,对有关技术作了整合和扩展,应用优化的 FCT 算法以消除波动方程有限差分正演模拟数值频散,给出了数值算例。通过对比可见,采用优化的 FCT 技术明显地压制了频散现象。虽然 FCT 方法的校正步骤增加了一定的计算量,但对于二阶差分和四阶差分,使用 FCT 校正后对每个主波长的采样点只需 5.5 和 3.7 个,并且优化的 FCT 技术,扩散校正只用在局部极值点上,从而节省了约 40% 的计算量,所以优化的 FCT 技术提高了有限差分正演模拟的计算效率。因为优化的 FCT 技术可在大网格步长情况下得到较好的计算精度,将其用于高阶差分,很明显地压制了频散现象,数值解具有较高的计算精度。

#### 参 考 文 献

- Alford R, Kelly K, Boore D. Accuracy of finite-difference modeling of the acoustic wave equation [J]. *Geophysics*, 1974, 39(6): 834~842
- 裴正林, 牟永光. 地震波传播数值模拟[J]. *地球物理学进展*, 2004, 19(4): 933~941
- 张永刚. 地震波场数值模拟方法[J]. *石油物探*, 2003, 42(2): 143~148
- 裴正林. 三维各向同性介质弹性波方程交错网格高阶有限差分模拟[J]. *石油物探*, 2005, 44(4): 308~315
- 孔庆丰. 井间地震波场数值模拟技术研究与应用[J]. *勘探地球物理进展*, 2006, 29(5): 333~336
- 宋常瑜, 裴正林. 井间地震粘弹性波场特征的数值模拟研究[J]. *石油物探*, 2006, 45(5): 508~513
- 蔡其新, 何佩军. 有限差分数值模拟的最小频散算法及其应用[J]. *石油地球物理勘探*, 2003, 38(3): 247~251
- 吴国忱, 王华忠. 波场模拟中的数值频散分析与校正策略[J]. *地球物理学进展*, 2005, 20(1): 58~65
- Dablain M A. The application of high-order differencing to the scalar wave equation [J]. *Geophysics*, 1986, 51(1): 54~66
- Alterman Z, Karal F C. Propagation of seismic wave in layered media by finite difference methods [J]. *BSSA*, 1968, 58(1): 367~398
- Fornberg B. The pseudo-spectral method; comparisons with finite differences for the elastic wave equation [J]. *Geophysics*, 1987, 52(4): 483~501
- Boris J P, Book D L. Flux-corrected transport I, SHAS-TA, A fluid transport algorithm that works [J]. *J Comput Phys*, 1973, 11: 38~69
- Fei Tong, Larner K. Elimination of numerical dispersion in finite-difference modeling and migration by flux-corrected transport [J]. *Geophysics*, 1995, 60(6): 1 830~1 842
- Levander A R. Fourth-order finite-difference P-SV seismograms [J]. *Geophysics*, 1988, 53(11): 1 425~1 436